

Centrale PC 2 2015

IA 1) a) En confondant comme le suggère l'énoncé les 2 fils d'axe z, nous sommes dans cette répartition de courants de la figure 3 : le plan (O, P, x, y) est un plan de symétrie pour les courants donc $\vec{B}(P) \perp (\hat{e}_x \hat{e}_y)$ c'est à dire $\vec{B}(P) \parallel \hat{e}_z$. P est un point de l'axe Ox donc

$$y = 0 = z \text{ d'où } \vec{B}(P) = B(x) \hat{e}_z \quad (1)$$

IA 1) b) les plans (Ox xz) et (Oy xz) sont d'antisymétrie pour donc $\vec{B}(O) \parallel \hat{e}_z$

IA 2) a) Symétriques : I est le plan (P, Az) est de symétrie pour I donc

$\vec{B}(P)$ est perpendiculaire à ce plan ($\parallel \hat{e}_z$)

Invariance : le courant I est invariant selon z et θ donc B dépend de x

$$\text{Ainsi } \vec{B}(P) = B(x) \hat{u}_0$$

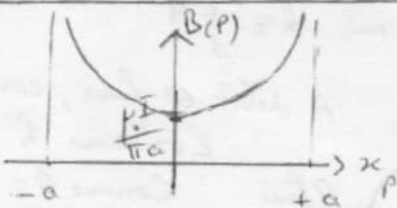
Th. d'Amper : contour cercle d'axe Az passant par P orienté selon \hat{u}_0

$$\oint \vec{B} \cdot d\vec{l} = +\mu_0 I \quad \text{+ si I dans le sens du } \hat{e}_z$$

$$B \cdot 2\pi r = \mu_0 I \rightarrow \vec{B} = \frac{\mu_0 I}{2\pi r} \hat{u}_0$$

IA 2) b) On a 2 portions de fils considérés comme infinis. Le th. de superposition

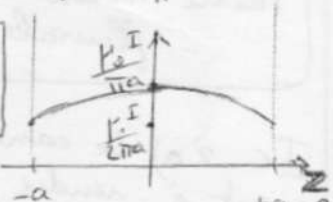
$$\text{donne } \vec{B}(P) = \frac{\mu_0 I}{2\pi} \left[\left(a - x_p \right)^{-1} + \left(a + x_p \right)^{-1} \right] \hat{u}_z$$



$$\text{IA 2) c) } x \in [-a, a] \quad \vec{B}(P) = \frac{\mu_0 I}{2\pi} \times \frac{2\cos\theta}{\sqrt{a^2 + z_n^2}} \hat{u}_z$$

$$\text{d'où } \vec{B}(P) = \frac{\mu_0 I}{\pi(a^2 + z_n^2)} \hat{u}_z \quad \text{avec } \cos\theta = \frac{a}{\sqrt{a^2 + z_n^2}}$$

$$\boxed{\vec{B}(P) = \frac{\mu_0 I}{\pi(a^2 + z_n^2)} \hat{u}_z}$$



$$\text{IA 2) d) } \frac{\Delta B}{B(0)} = \frac{B(P) - B(0)}{B(0)} = \frac{B(R)}{B(0)} - 1$$

$$= \frac{a(\frac{1}{a-R} + \frac{1}{a+R}) - 1}{2} - 1$$

$$\boxed{\frac{\Delta B}{B(0)} = \frac{R^2}{a^2 - R^2}}$$

On sachait $\frac{\Delta B}{B(0)} < 0,1$ d'où $\frac{R^2}{a^2 - R^2} < 0,1$

$$\text{soit } R^2 < 0,1(a^2 - R^2) \text{ c'est à dire } \frac{a}{R} > \sqrt{11}$$

$$\text{IA 3a) } Q = \int_0^R J(r) 2\pi r dr$$

$$Q = \int_0^R \left(1 - \left(\frac{r}{R} \right)^4 \right) 2\pi r dr = \pi \frac{2R}{5} \left[\frac{R^2}{2} - \frac{1}{R^4} \right]$$

$$\boxed{Q = \frac{\pi R^2}{2}}$$

IA 3b) si e apparaît sur une ligne \perp à \vec{J} et à \vec{B} , alas comme $\vec{J} \parallel \vec{u}_y$ et $\vec{B} \parallel \hat{e}_z$, e apparaît le long de AB

$$\text{IA 3c) } e \sim \frac{\Phi}{t} \quad (\text{la Faraday } e = -\frac{\partial \Phi}{\partial t})$$

$$e \sim \frac{BS}{t} \sim \frac{BL^2}{t} \quad \left\{ \Rightarrow e \sim \frac{BQ}{L} \right.$$

$$\text{On } Q \sim \frac{L^3}{t}$$

$$\text{donc } \boxed{m = n = 1 \text{ et } F \sim \frac{1}{L}}$$

$$\text{IA 3e) } e = \frac{16 \mu_0 I}{3\pi R \pi a_{\min}} Q$$

$$\text{avec } a_{\min} = \sqrt{11} R$$

$$e = \frac{16 \cdot 4\pi \times 10^{-7} \cdot 10 \times 20 \times 10^{-3}}{3\pi^2 \times 0,1^2 \sqrt{11}} = 4,1 \mu V$$

non mesurable au voltmètre d'où nécessite d'un amplificateur.

IB 1) a) L'incompressibilité mène à un débit volumique constant d'où

$$D_s = v_1 h B = v_2 (h - H) B \text{ si on considère } v_2 \text{ uniforme dans la partie déversoir ; ceci donne } v_2 = v_1 \frac{h}{h-H} \approx v_1 \frac{H}{R-H}$$

$$v_2 \gg v_1 \text{ puisque } H \gg h-H$$

IB 1) b) Les hypothèses irrotational, stationnaire, incompressible, et parfait sont mentionnées : on peut appliquer le th. de Bernoulli en tout point du fluide : Entre η_1 et η_2 :

$$f_0 + \frac{1}{2} \rho v_1^2 + \rho g h = f_0 + \frac{1}{2} \rho v_2^2 + \rho g (H + z)$$

par hyp "la pression au sein du fluide de la section de la pelle est f_0 "

d'où en négligeant v_1^2 devant $v_2^2(z)$

$$v_2^2(z) = 2g(h-H-z)$$

R.H

$$IB_2 \quad Q = \int_{h-H}^{h-H} v_2(z) B dz = \sqrt{gB} (h-H)^{\frac{1}{2}} B$$

$$Q = \sqrt{2gB} \left[\frac{2}{3}(h-H-z)^{\frac{3}{2}} \right]_0^h = \frac{2}{3} \sqrt{2gB} (h-H)^{\frac{3}{2}}$$

$$\text{On a bien } Q = A(h-H)^{\frac{3}{2}} \text{ avec } A = \frac{2}{3} \sqrt{2gB}$$

$$IB_3) \text{ L'aller-retour de l'onde sur le chemin rive-surface eau donne : } 2(h_s - h) = c \Delta t$$

Il faut adapter la valeur de c en fonction de la T° (modèle du GP :

$$c = \sqrt{\frac{8RT}{\pi}}$$

Il faut donc connaître la T° d'où le capteur de T° .

Si les eaux sont très chargées en matières il est possible que la réflexion se fasse mal et que l'onde soit absorbée dans l'eau.

IC1a) Les hyp. parfait stationnaires circulent incompressible permettent d'appliquer le th Bernoulli en tout point du fluide. Prenons 2 points de la surface, on aura $\rho_0 + \frac{1}{2} \rho v_{(x)}^2 + \rho g h(x) = \text{Cste}$ comme ρ et ρ_0 sont constantes cela même aussi à càd

$$h(x) + \frac{v_{(x)}^2}{2g} = \text{Cste}$$

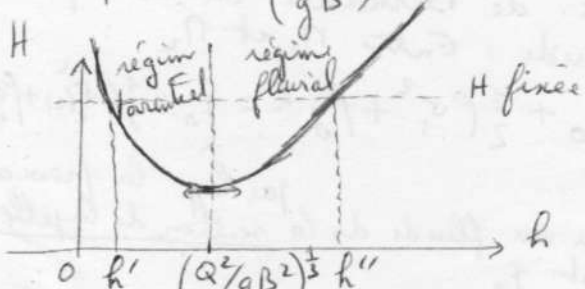
$$H(x) = \text{Cste}$$

$$IC1b) D_v = Q = v(x) B h(x)$$

$$\text{d'où } H(x) = h(x) + \frac{v_{(x)}^2}{2g} = h(x) + \frac{Q^2}{2g B^2 h(x)}$$

$$\text{Pour ? } \frac{dh}{dh} = 1 - \frac{Q^2}{g B^2 h^3}$$

$$\text{qui pour } h = \left(\frac{Q^2}{g B^2} \right)^{\frac{1}{3}}$$



À charge spécifique H donnée on a 2 valeurs h' et h'' de part et d'autre de $\frac{Q^2}{g B^2}$

(h', v') et (h'', v'') sont tels que par définition $h' < h''$, d'où, du fait que $h + \frac{v^2}{2g} = \text{Cste}$

$$v' > v''$$

Ainsi v' correspondra au régime torrentiel et v'' au régime fluvial. (OK)

$$IC1c) \text{ on a trouvé que } h_c = \left(\frac{Q^2}{g B^2} \right)^{\frac{1}{3}}$$

$$\text{on a alors } H(h_c) = \frac{Q}{B h_c} = \left(\frac{Q g}{B} \right)^{\frac{1}{3}} \quad (\text{ou par l'homogénéité})$$

$$\text{Alors } H_c = h_c + \frac{v_c^2}{2g} = \left(\frac{Q^2}{g B^2} \right)^{\frac{1}{3}} + \left(\frac{Q g}{B} \right)^{\frac{1}{3}} \cdot \frac{1}{2g}$$

$$H_c = \frac{3}{2} \left(\frac{Q^2}{g B^2} \right)^{\frac{1}{3}} \quad \text{ou encore } H_c = \frac{3}{2} h_c$$

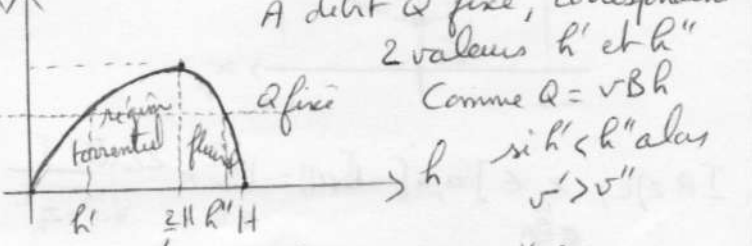
au voisinage du régime critique, on passe facilement du régime torrentiel au régime fluvial d'où l'apparition d'oscillations ou ondulations importantes de la surface libre.

$$IC1d) \text{ A } H \text{ fixée, } Q = (H - h(x)) 2g B^2 h^2$$

Q varie donc comme $(H - h)^2$

$$\text{Max? } \frac{dQ}{dh} = 0 \Leftrightarrow -h + 2h(H-h) = 0 \Leftrightarrow h = \frac{2}{3} H$$

Or



C'est la même chose que pour $H(h)$.

Partie torrentielle pour $h < \frac{2}{3} H$
fluviale pour $h > \frac{2}{3} H$

IC2a) Le canal d'approche est probablement à rendre le régime stationnaire car il est très long.

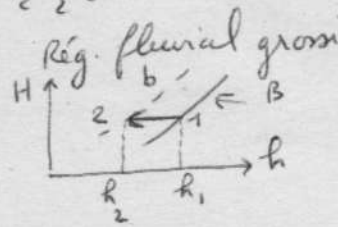
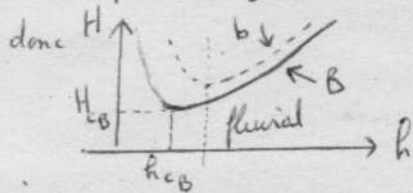
$$IC2b) Q = v_1 B h_1 = v_{2(x)} B h_{2(x)}$$

IC2c)

Ic 2c) Jaugeau nage \Rightarrow régime fluvial
tant (énoncé)

$$\text{Or } R_c = \left(\frac{Q^2}{gB^3}\right)^{\frac{1}{3}} \propto \left(\frac{Q^2}{gb^3}\right)^{\frac{1}{3}} = \frac{Q}{B^{\frac{3}{2}}}$$

De m pour $H_{cB} < H_{cB}$ car $H_c = \frac{3}{2}h_c$



Le graphique montre que à H charge spécifique Cote on passe de H_B à H_c "horizontalement" et on observe donc que $h_2 < h_1$

Comme le débit $Q = h_1 v_1 B = h_2 v_2 b$
et que $h_1 > h_2$ mais aussi $B > b$
donc $h_1 B > h_2 b$, alors $v_1 < v_2$

$$H = \text{Cote} = h + \frac{v^2}{2g} \Rightarrow h_1 + \frac{v_1^2}{2g} = h_2 + \frac{v_2^2}{2g}$$

$$\text{si } v_1 \ll v_2 \text{ alors } v_2 \approx \sqrt{2g(h_1 - h_2)}$$

$$\text{et } Q = h_2 v_2 b = h_2 b \sqrt{2g(h_1 - h_2)}$$

Ic 2d) Jaugeau dénagé \Rightarrow on passe du régime fluvial au torrentiel des le convergent.

Donc on passe par le régime critique.
Du coup $H = H_c = \frac{3}{2} \left(\frac{Q^2}{gb^3}\right)^{\frac{1}{3}}$ d'après Ic 1c)

en adaptant la largeur b du convergent

$$\text{et } H_c = \text{la valeur de } H \text{ en amont} \\ = h_1 + \frac{v_1^2}{2g} \approx h_1 \text{ car on admet } v_1 \ll \sqrt{2gh_1}$$

$$\text{ainsi } h_1 \approx \frac{3}{2} \left(\frac{Q^2}{gb^3}\right)^{\frac{1}{2}}$$

$$\text{soit } Q = \left(\frac{2}{3}\right)^{\frac{3}{2}} b \sqrt{g} h_1^{\frac{3}{2}} \quad (\text{OK})$$

$$\text{AN: } \left(\frac{2}{3}\right)^{\frac{3}{2}} = 0,544 \quad (\text{OK avec énoncé})$$

$$\text{On cherche } b = \left(\frac{3}{2}\right)^{\frac{3}{2}} \frac{Q}{\sqrt{g} h_1^{\frac{3}{2}}} = \left(\frac{3}{2}\right)^{\frac{3}{2}} \frac{10^3}{3600 \sqrt{9,8} 0,5^2}$$

$$b = 46 \text{ cm} \quad c'est bien supérieur à 10cm$$

norme 1504359

si b trop petit ($< 10\text{cm}$) on aurait des effets de bord non négligeables

Ic 2e) Avec un jaugeau dénagé, on n'a besoin que de la valeur de h_1 et pas celle de b pour obtenir Q ; donc 1 seule sonde ultra

II A1) Poids: $\rho_s \frac{4}{3} \pi r^3 g (-\bar{u}_z)$
Archimède: $\rho_e \frac{4}{3} \pi r^3 g \bar{u}_z$
Tranée $-6\pi r^2 \bar{v} = 6\pi r^2 \bar{v}$ algébrique

II A2) Vitesse limite qd $\sum F = 0$
soit $(d-1) \rho_e \frac{4}{3} \pi r^3 g \cdot \frac{1}{6\pi r^2} = -\frac{v_{\text{limite}}}{\rho_e}$ algébrique

$$v_p = -\frac{2(d-1) \rho_g}{g \rho_e} \quad \begin{cases} \text{sédimentation si } v_p < 0 \\ \text{remontée si } v_p > 0 \end{cases}$$

donc $\begin{cases} \text{sédimentation si } d > 1 \\ \text{remontée si } d < 1 \end{cases}$

II B Sable grossier Fin limon Argile colloïde
r 1mm 100μm 10μm 1μm 0,1μm

AN pour le sable grossier

$$v_p = -\frac{2}{g} \frac{(2,65-1)}{1 \times 10^{-6}} 10^{-3} \times 9,8 = 3,59 \text{ ms}^{-1}$$

alg

Quand r est multiplié par 10^1 , v_p est multipliée par 10^{-2} d'où

Sable grossier	Fin	Limon	Argile	Colloïde
v_p m/s	3,6, 3,6, 3,6, $\frac{1}{10^2}$	$3,6 \times 10^{-2}$ cm/s	$3,6 \times 10^{-3}$ μm/s	$3,6 \times 10^{-4}$ μm/s
t_c s	0,56	56	130	155

$$\text{II C } Re = \frac{\rho_e v_p r}{\mu} = \frac{v_p r}{\mu}$$

AN pour le sable grossier

$$Re = \frac{3,6 \times 10^{-3}}{10^{-6}} \sim 3,6 \cdot 10^3 \gg 1$$

Sable grossier	Fin	Limon	Argile	Colloïde
Re $3,6 \cdot 10^3$	$3,6 \cdot 10^{-3}$	$3,6 \cdot 10^{-5}$	$3,6 \cdot 10^{-7}$	$3,6 \cdot 10^{-9}$

Modèle de la face de traînée inacceptable

Modèle de la force de traînée OK

On ne peut donc pas se fier à la valeur de v_p trouvée pour le sable grossier

II D Pour ne pas dépasser 2^h il faut éliminer les colloïdes

$$t_{\text{max}} = 2h = \frac{H}{v_p} \Rightarrow \frac{2(d-1) \rho_g}{g} = \frac{H}{t_{\text{max}}}$$

$$t_{\text{min}} = 3 \sqrt{\frac{v_p H}{2(d-1) g}} = 3 \sqrt{\frac{10^{-6} \times 2}{2 \times 3600 \times 1,65 \times 9,8 \times 2}}$$

$$t_{\text{min}} = 3 \text{ μm} \quad ce qui est bien entre le et l'argile$$

II E 1) Trajectoire rectiligne $\begin{cases} \frac{dx}{dt} = v_{\text{eau}} \\ \frac{dv_x}{dt} = v_p \end{cases}$
La traversée est selon x où la
vitesse est v_{eau} donc $\Delta t = \frac{L}{v_{\text{eau}}}$

on calcule L à l'air de $Q = v_{\text{eau}} L H$
soit $Q = v_{\text{eau}} \frac{L}{6} H$

$$\text{d'où } \Delta t = \frac{L^2 H}{6 Q}$$

II E 2) $\Delta t < t_c(r_{\min})$ 1 au sédiment

$$\text{soit } \frac{L^2 H}{6 Q} < 2 \text{ heures}$$

$$\text{d'où } L_{\min} = \sqrt{\frac{2 \times 3600 \times 6 Q}{H}}$$

$$\text{AN } L_{\min} = \sqrt{\frac{2 \times 3600 \times 6 \times 20 \times 10^{-3}}{2}} = 21 \text{ m}$$

$$\text{III A 1) a) } \vec{j}_D = -D \frac{dn^*}{dz} \vec{e}_z$$

$$\text{III A 1b) } \vec{j}_c = n^* \vec{v}_p \quad (\text{analogie électrique}) \quad j_{el} = \rho \vec{J}$$

$$\vec{J} = -D \frac{dn^*}{dz} \vec{e}_z + n^* \vec{v}_p$$

III 41c) Bilan dans une tranche $[z ; z+dz]$

$$\frac{dN}{dt} = \underbrace{\frac{dN}{dt}_{\text{entrant}}}_{\substack{\text{variation des} \\ \text{nb particules}}} - \underbrace{\frac{dN}{dt}_{\text{sortant}}}_{\substack{\text{ce qui entre} \\ \text{en } z \\ \text{ce qui sort} \\ \text{en } z+dz}}$$

$$d[n^* dz] = j(z) S dt - j(z+dz) S dt$$

$$S dz \frac{dn^*}{dt} = S dt \left(-\frac{dj}{dz} \right) dz$$

$$\frac{dn^*}{dt} = -\frac{dj}{dz} = D \frac{d^2 n^*}{dz^2} - \frac{dn^*}{dz} v_p \quad \text{algébrique}$$

or \vec{v}_p est dirigé vers le bas donc

$$v_p \text{ algébrique} = -|v_p|$$

$$\text{et } \frac{dn^*}{dt} = D \frac{d^2 n^*}{dz^2} + |v_p| \frac{dn^*}{dz} \quad (\text{OK})$$

III A 2a) stationnaire $\Rightarrow \frac{dn^*}{dt} = 0$ (4)
et $D \frac{d^2 n^*}{dz^2} + |v_p| \frac{dn^*}{dz} = 0$

$$\text{soit en intégrant } D \frac{dn^*}{dz} = -|v_p| n^* + C_1$$

$$\text{en intégrant encore } \int \frac{D dn^*}{C_1 - |v_p| n^*} = \int dz$$

$$-\frac{D}{|v_p|} \ln(C_1 - |v_p| n^*) = z + C_2$$

ce que l'on peut mettre sous la forme:

$$n^* = A + B e^{-\frac{|v_p| z}{D}} \quad \text{avec A et B ctes}$$

on obtient une longueur caractéristique

$$\lambda = \frac{D}{|v_p|}$$

En $z=0$, il n'y a pas de flux total
puisque le sol est imperméable.

$$\text{donc } j(z=0) = 0 \rightarrow \frac{DB}{A+BT} = 0 \rightarrow A = 0$$

$$\text{d'où } n^* = n^*_{\infty} e^{-\frac{|v_p| z}{D}} \quad \text{compte tenu de } n^*_{\infty} \text{ en } z=0$$

$$\text{III A 2b) } \lambda = \frac{D}{|v_p|} = \frac{k_B T}{6 \pi \eta r^2 |v_p|}$$

$$\text{d'où } n^* = n^*_{\infty} e^{-\frac{6 \pi \eta r^2 |v_p| z}{k_B T}}$$

Sachant que $-6 \pi \eta r^2 |v_p|$ est la force de
traînée, que celle est constante en
régime stationnaire puisque $v=v_p$
l'énergie potentielle associée est telle que

$$dE_p = -SW = -(-6 \pi \eta r^2 |v_p|) dz$$

$$\text{d'où } E_p = 6 \pi \eta r^2 |v_p| z = (m - m_{\text{eau à la surface}}) g z$$

$$\text{on a bien } n^* = n^*_{\infty} e^{-\frac{E_p}{k_B T}}$$

où E_p est l'énergie potentielle de la
force de traînée en régime stationnaire
ou due au poids apparent

III A 2c)	r	1 μm	0,1 μm	0,01 μm
λ	$8 \times 10^{-2} \mu\text{m}$	60 μm	6 cm	

$$\text{Pour } r = 1 \mu\text{m} \quad \lambda = \frac{k_B T}{6 \pi \eta r^2 |v_p|} = \frac{1,38 \cdot 10^{-23}}{6 \pi \cdot 10^{-3} \cdot 10^{-6} \cdot 10^{-6} \cdot 3,6 \cdot 10^{-6}} = 300$$

(on reprend la valeur de $|v_p|$ calculée en II B)

$$\lambda = 0,06 \mu\text{m}$$

Quand le rayon est divisé par 10, $|v_p|$ est divisé
par 100 ; il y a donc un facteur 1000 gd
à faire à $\lambda = 0,1 \mu\text{m}$ plus $0,01 \mu\text{m}$.

III A 2c) n^* décroît exponentiellement avec z en diminuant donc avec l'altitude.

n^* & d'autant + que λ est petit

Sachant que la hauteur $H = 2m$, on peut dire, qu'en haut des 2m, dans les 3 cas, il n'y a quasi plus de particules.

Il y a bien en sédimentation. Il faut donc la prendre en compte.

$$\text{III B1 a)} \quad x = \frac{\text{volume propre des particules}}{\text{volume total d'eau boueuse}}$$

$$\text{On } n^* = \frac{\text{nb particules solides}}{\text{volume total d'eau boueuse}}$$

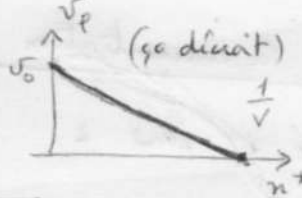
Sachant que nb particules $\propto V$ = volume propre particules, on obtient

$$x = n^* V$$

$$\text{Enoncé: } v_p = v_0 (1-x)^n \Rightarrow \left(\frac{v_p}{v_0}\right)^{\frac{1}{n}} = 1-x$$

$$\text{d'où } 1 - \left(\frac{v_p}{v_0}\right)^{\frac{1}{n}} = n^* V$$

$$\text{càd } \boxed{v_p = v_0 (1-n^* V)^n} \quad (n^* V < 1)$$



III B1 b) v_0 est la vitesse limite à densité nulle (ou très faible) (ou très diluée)

$v_p \rightarrow 0$ si $n^* \rightarrow \infty$ à cause de la gêne créée par la très forte concentration des particules environnantes.

$$\text{II B2)} \quad \vec{j} = \vec{j}_c = +n^* \vec{v}_p$$

$$-j_{(z,t)} \vec{u}_z = -n^* |v_p| \vec{u}_z \rightarrow j_{(z,t)} = n^* |v_p|$$

$$\boxed{j_{(z,t)} = n^*_{(z,t)} v_0 (1-x)^n = n^*_{(z,t)} v_0 (1-n^* V)^n}$$

on reconnaît la fonction $y(1-y)^{n-1}$ à un facteur près : $j_{(z,t)} = \frac{v_0}{V} (n^* V) (1-n^* V)^{n-1}$

le max de $n^* V (1-n^* V)^{n-1}$ est égal à 0,065

$$\text{onc } \boxed{j_{\max} = \frac{v_0}{V} \times 0,065}$$

$$\text{entra } \boxed{ON = \frac{f(y)}{y} = (1-y)^n = \frac{v_p}{v_0}} \quad (\text{OK})$$

	$\boxed{(1) \text{ tangente: } n^* = 0}$	$\boxed{(3) \text{ eau: } n^* = 0,8}$	
		\boxed{at}	$\boxed{t+dt}$
		$\boxed{z_0 + dz}$	$\boxed{z_0}$

Pdt total entre $j_{(n^*)}$ Sdt en $z_0 + dz$
sort $j_{(n^*)}$ Sdt en $z_0 - dz$

$$\text{la variation } dN = n^* S (dz + \vec{v}_F dt) + n^* S (-n^* dz - n^* dz)$$

$$\text{soit } dN = f_{n^*} - n^* S \vec{v}_F dt$$

$$\text{Bilan: } dN = \text{entrée} - \text{série} = (j_{(n^*)} - j_{(n^*)})$$

$$\rightarrow (n^* - n^*) |v_F| = j_{(n^*)} - j_{(n^*)}$$

$$\rightarrow |v_F| = \frac{j_{(n^*)} - j_{(n^*)}}{n^* - n^*} \quad (\text{avec } v_F \text{ compté vers le bas})$$

Comme \vec{u}_z est vers le haut, cela donne

$$\boxed{\vec{v}_F = -|v_F| \vec{u}_z = -\frac{j_{(n^*)} - j_{(n^*)}}{n^* - n^*}} \quad (\text{OK})$$

On pourrait aussi dire uniquement pour la zone n^* entre t et $t+dt$

$$j_{(n^*)} Sdt = v_F n^* dt \Rightarrow j_{(n^*)} = n^* |v_F|$$

$$j_{(n^*)} Sdt = v_F n^* dt \Rightarrow j_{(n^*)} = n^* |v_F|$$

$$\text{d'où la différence } j_{(n^*)} - j_{(n^*)} = (n^* - n^*) / |v_F|$$

$$\text{III B3c)} \quad n^* = 0 \text{ en (1)} \Rightarrow y = 0 \Rightarrow f(y) = 0$$

$$x = 0,1 \quad (\text{c'est le } y_2 \text{ de la courbe})$$

$$\text{on lit sur } y_L = 0,1 \quad f(y) = 0,058$$

$$\text{donc } j_- = \frac{v_0}{V} \times 0,058$$

$$\text{d'où } \boxed{\vec{v}_{12} = -\frac{0 - \frac{v_0 \times 0,058}{V}}{0 - \frac{0,1}{V}} \vec{u}_z = -0,058 \frac{v_0}{V} \vec{u}_z}$$

$$\text{Pour (2/3)} \quad y_2 = 0,1 \quad y_3 = 0,8 \text{ d'après III B3a}$$

$$\text{donc } f(y_2) = 0,058 \quad f(y_3) = 0$$

$$\text{soit } j_+ = \frac{v_0}{V} \times 0,058 \quad j_- = 0$$

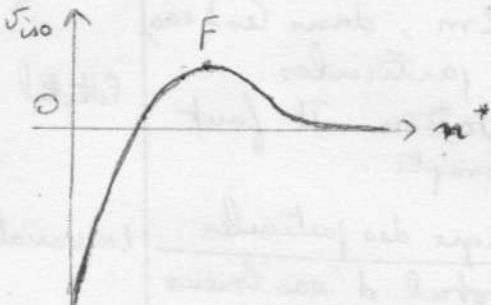
$$\text{d'où } \boxed{\vec{v}_{23} = -\frac{0,058 - 0}{0,1 - 0,8} \frac{v_0}{V} \vec{u}_z = \frac{0,058}{0,7} \frac{v_0}{V} \vec{u}_z}$$

$$\boxed{\vec{v}_{23} = 0,083 \frac{v_0}{V} \vec{u}_z} \quad \text{la frontière normale}$$

$$\text{III B4)a) De } \vec{J}_F = - \frac{j(n^*) - j(n_+)}{n_+ - n^*} \vec{u}_2 \text{ on déduit } \boxed{\vec{v}_{iso} = - \frac{dj}{dn^*} \vec{u}_2}$$

Comme $j = \frac{U_0}{V} f(y)$ avec $y = n^* V (=x)$ on déduit l'allure de v_{iso}

C'est celle de $-f'(y)$



III B4b) si Vn^* varie linéairement de 0 à 0,8

A la bâle densité $n^* = v_{iso} < 0$ (normal que \vec{v}_{iso} soit vers le bas $(-\vec{u}_2)$)
Cette vitesse devient de + en + faible en norme pour devenir positive, le front remontant alors vers le haut
D'après la courbe $v_{iso}(n^*)$ on voit que n^* varie beaucoup pour un $\hat{m} v_{iso}$ lors de la tangent horizontale au point F

En F un front où la concentration varie brutalement se forme

